Palabras clave:

doxorrubicina, doxorrubicinol, farmacocinética comparada, gatos, cancer

Keywords:

doxorubicin, doxorubicinol, comparative pharmacokinetics, feline, cancer

Farmacocinética comparativa de doxorrubicina libre y una formulación liposomal en gatos tras administración intravenosa



Farmacocinética comparativa de doxorrubicina libre y una formulación liposomal en gatos tras administración intravenosa https://axoncomunicacion.net/ farmacocinetica-comparativa-de-la-doxorrubicinalibre-y-una-formulacion-liposomal-en-gatos-trasla-administracion-intravenosa/



Yu Liu¹, Sumeng Chen¹, Zeyu Wen¹, Jinyan Meng¹, Yuxin Yang¹, Yang Zhang¹, Jianzhong Wang^{2*} y Xingyuan Cao^{1,3*}

- 1. Department of Veterinary Pharmacology and Toxicology, College of Veterinary Medicine, China Agricultural University, Beijing, China
- 2. Shanxi Key Laboratory for Modernization of TCVM, College of Veterinary Medicine, Shanxi Agricultural University, Jinzhong, China
- 3. Key Laboratory of Detection for Veterinary Drug Residue and Illegal Additive, Ministry of Agriculture and Rural Affairs, Beijing, China

a doxorrubicina, un potente agente quimioterapéutico muy utilizado en el tratamiento del cáncer, muestra un comportamiento farmacocinético complejo, especialmente en varias formulaciones. Con una incidencia creciente de casos de cáncer en gatos, la comprensión de la farmacocinética del fármaco en sujetos felinos sigue siendo un área crítica pero inexplorada. Por lo tanto, en este estudio se investiga el perfil farmacocinético de la doxorrubicina tras la administración intravenosa lenta de clorhidrato de doxorrubicina (DOX-HCl) o clorhidrato de doxorrubicina (DOX-HCl-PLI) liposomal pegilada en doce gatos a una dosis única de 20 mg/m².

Las muestras de sangre recogidas en el momento del pretratamiento (0h) y a lo largo de 192h se analizaron mediante cromatografía líquida de ultrarendimiento-espectrometría de masas (UPLC-MS/ MS). Los parámetros farmacocinéticos obtenidos de doxorrubicina revelaron diferencias significativas entre las dos formulaciones y fueron los siguientes: semivida de eliminación (T1/2 λ z) de 5,00±3,20h (DOX-HCl) y 17,62±8. 13h (DOX-HCl-PLI), área bajo la curva concentración/tiempo de 0 al último punto (AUC_{last}) de 0,67±0,12 μghr./mL (DOX-HCl) y 783,09±267,29 μghr./mL (DOX-HCl-PLI), y aclaramiento corporal total ($CL_{_obs}$) de 27098,58 \pm 5205,19 mL/h/m 2 (DOX-HCl) y 28,65±11,09 mL/h/m² (DOX-HCl-PLI). Además, también se detectaron diferencias en el volumen aparente de distribución (Vz_{obs}) con 178,56±71,89 L/m² (DOX-HCI) y 0,64±0,20 L/m² (DOX- $HC\bar{l}-PLI$), y la concentración plasmática máxima (C_{max}) con 2,25±0,30 μg/mL (DOX-HCl) y 24,02±5,45 μg/mL (DOX-HCl-PLI). En particular, se detectó una baja concentración de doxorrubicinol, el metabolito de la doxorrubicina, en plasma después de la administración de DOX·HCl, y una concentración aún menor cuando se administró DOX-HCI-PLI. Esta investigación proporciona valiosa información sobre los distintos comportamientos farmacocinéticos del DOX-HCl y el DOX-HCl-PLI en los gatos. DOX-HCl-PLI en gatos, aportando una base esencial para futuros estudios y posibles aplicaciones clínicas en oncología felina.

Introducción

La doxorrubicina, ampliamente usada en el tratamiento del cancer de mama y de ovario, es una antibiotico de tipo antraciclina, antitumoral, de amplio espectro que inhibe la síntesis de ADN, ARN y proteinas en las células en varios ciclos de crecimiento (1,2). Actualmetne, hay dos formulaciones de doxorrubicina autorizadas para el uso clínico en humanos, clorhidrato de doxorrubicina y clorhidrato de doxorrubicina liposomal (3). Aunque la doxorrubicina presenta una eficacia antitumoral significativa, los estudios clínicos indican muchos efectos adversos (4-6). Por ejemplo, las investigaciones han demostrado que la doxorrubicina y su metabolito, el doxorrubicinol, cuando se combinan provocan fuertes efectos secundarios tóxicos en humanos y otras especies (7, 8). Las investigaciones sobre una forma liposomal de doxorrubicina han revelado su capacidad para alterar el perfil farmacocinético del fármaco in vivo, mejorando en consecuencia su eficacia antitumoral (9–13).



Farmacocinética comparativa de doxorrubicina libre y una formulación liposomal en gatos tras administración intravenosa

Introducción



El carcinoma mamario felino sique siendo uno de los más comunes tumores en gatos, mostrando una alta malignidad y ratio de metástasis, mostrando características clínico-patológicas, epidemiológicas e histológicas, y una clasificación molecular similar a las encontradas en el cáncer humano (14-16). En los recientes años, varios estudios han descrito la eficacia de la doxorrubicina en el tratamiento de una variedad de tumores felinos (17-20). De forma más específica, un artículo detalló el uso de cirugía citorreductora y quimioterapia adyuvante con doxorrubicina en el tratamiento del hemangiosarcoma mesentérico, lo que resultó en una supervivencia prolongada en el gato (18). Sin embargo, en otros informes se ha expresado preocupación sobre la importante toxicidad del fármaco en gatos, que provoca lesión renal, mielosupresión, anorexia y pérdida de peso (21). Se necesita un conocimiento profundo para revelar opciones terapéuticas destinadas a mejorar el resultado clínico en el gato. Dichos estudios están limitados por la falta de líneas celulares felinas disponibles para ensayos de citotoxicidad (22). Además, al comparar las dos formulaciones de doxorrubicina, las propiedades físicas del liposoma desempeñan un papel importante en la alteración de la farmacocinética del fármaco, un factor estrechamente relacionado tanto con la eficacia como con las reacciones adversas (23). A pesar de esto, sólo unos pocos estudios han caracterizado el perfil farmacocinético de la doxorrubicina en gatos. La evaluación del perfil farmacocinético de la doxorrubicina y el doxorrubicinol en las especies de destino constituye un paso crucial para comprender la eficacia y gestionar los posibles efectos adversos en futuros tratamientos clínicos. Por lo tanto, el objetivo principal del presente estudio fue caracterizar la farmacocinética de la doxorrubicina y su metabolito, doxorrubicinol, de dos formulaciones distintas de doxorrubicina en gatos.

Materiales y métodos

Materiales

El producto estándar de clorhidrato de doxorrubicina (pureza = 98,0%), el producto estándar de doxorrubicinol (pureza = 96,4%) y el producto estándar de clorhidrato de daunorrubicina (estándar interno, pureza = 98,8%) fueron proporcionados por TLC Pharmaceutical Standers. El clorhidrato de doxorrubicina para inyección (DOX·H-Cl, 10 mg) se obtuvo de ShanXi Pude Pharmaceutical Co., Ltd., y la inyección de liposomas pegilados de clorhidrato de doxorrubicina (DOX·HCl-PLI, 20 mg:10 ml) fue suministrada por CSPC Pharmaceutical Group Ouyi. Pharmaceutical Co., Ltd. Todos los demás productos químicos y reactivos utilizados fueron de calidad cromatográfica y se obtuvieron de proveedores comerciales (Fisher Scientific).

Diseño experimental

En este estudio se utilizaron doce gatos pastorales chinos domesticados (seis hembras y seis machos; 3-3,6 kg; rango de edad de 2-3 años) obtenidos del Centro de Animales Experimentales de la Universidad Agrícola de China. Antes del estudio se verificó que los gatos estuvieran sanos basándose en el examen físico. Todos los



Farmacocinética comparativa de doxorrubicina libre y una formulación liposomal en gatos tras administración intravenosa

Materiales y métodos

procedimientos fueron revisados y aprobados por Comité Institucional de Cuidado y Uso de Animales de la Universidad Agrícola de China (NO.13303-21-E-001).

El experimento preestablecido se llevó a cabo en un diseño de dosis única y dosis paralelas. Doce gatos fueron asignados aleatoriamente a dos grupos de tratamiento del mismo tamaño. El grupo I recibió DOX·HCl a una dosis de 20 mg/m² de superficie corporal, mientras que el grupo II recibió DOX·HCl-PLI a la misma dosis. De manera similar a la práctica clínica, ambas formulaciones se administraron mediante infusión intravenosa (i.v.) lenta (administrada durante 10 minutos) después de la dilución con NaCl al 0,9 %, manteniendo una velocidad de inyección de aproximadamente 10 μ L/s. Los gatos ayunaron durante 16 h antes y 8 h después de la administración del fármaco. Se pesó a cada gato inmediatamente antes de la administración del fármaco el primer día de tratamiento.

Se recogieron muestras de sangre de 0,5 ml en tubos heparinizados a través de las venas de las extremidades anteriores en 0 (pretratamiento) y 0,033, 0,083, 0,167, 0,25, 0,5, 0,75, 1, 1,5, 3, 6, 12, 24, 48, 72, 96. 120, 144, 168 y 192 h después de iniciar la administración. Posteriormente, las muestras de sangre se centrifugaron durante 10 minutos a 4000 rpm y las muestras de plasma se almacenaron a -20 °C hasta su análisis.

Análisis de muestras

Las concentraciones plasmáticas de doxorrubicina y doxorrubicinol se analizaron utilizando un método validado de cromatografía líquida de ultra rendimiento-espectrometría de masas (UPLC-MS/MS), como se indicó anteriormente (7, 24). El límite inferior de cuantificación (LLOQ) de doxorrubicina y doxorrubicinol en plasma fue de 10 ng/ml y 2 ng/ml, respectivamente. Tanto los coeficientes de variación inter como intraensayo se mantuvieron por debajo del 15%. Las recuperaciones medias de doxorrubicina oscilaron entre –14,51 y 10,00 %, mientras que las de doxorrubicinol oscilaron entre –14,00 y 10,63 %. Las curvas de calibración de doxorrubicina y doxorrubicinol mostraron una linealidad satisfactoria dentro del rango de concentración de 10 a 2000 ng/ml (r2 > 0,99) y de 2 a 400 ng/ml (r2 > 0,99), respectivamente.

Análisis de los datos

Los parámetros farmacocinéticos se determinaron a partir del modelo de análisis no compartimental 200–202 (método de interpolación lineal, trapezoidal lineal, ponderación uniforme) en el software WinNonlin Min (WinNonlin 8.3, Certara Estados Unidos). Para evaluar diferencias significativas, se empleó una prueba T mediante SPSS Statistics 20.0 (International Business Machines, Armonk, NY, Estados Unidos) entre los grupos de estudio después de una transformación logarítmica en la vida media de eliminación ($T_{1/2}$, área bajo la curva de concentración/tiempo desde 0 hasta el último punto (AUC_{last}), aclaramiento corporal total (CL_{lobs}), volumen de distribución aparente (Vz_{lobs}) y concentración plasmática máxima (C_{lobs}). Se consideraron diferencias estadísticamente significativas para valores de p (p) inferiores a 0,01 y todos los datos se expresan como media t desviación estándar (DE).



Farmacocinética comparativa de doxorrubicina libre y una formulación liposomal en gatos tras administración intravenosa

Materiales y métodos



Resultados

Las curvas de concentración plasmática/tiempo de doxorrubicina para los grupos DOX·HCl y DOX·HCl-PLI se muestran en la **Figura 1**.

Además, la curva de doxorrubicinol se presenta para el grupo DOX·H-Cl, mientras que la curva para el grupo DOX·HCl-PLI no se muestra debido a los limitados puntos de tiempo medidos después de la administración. Los resultados demostraron que el perfil farmacocinético de la doxorrubicina después de la administración de las dos formulaciones fue significativamente diferente.

Los parámetros farmacocinéticos para las dos formulaciones de doxorrubicina se presentan en la **Tabla 1**. Los resultados mostraron diferencias significativas entre los dos grupos, DOX·HCl y DOX·HCl-PLI, en los valores $T_{1/2\lambda z}$, AUC $_{last}$, $CL_{_{obs}}$, $Vz_{_{ob}}$ s y $C_{_{max}}$ (p < 0,01). Dada la baja concentración del metabolito doxorrubicinol y el número limitado de puntos temporales medidos, no se pudieron obtener con precisión los parámetros farmacocinéticos del doxorrubicinol basándose en la dosis actual de doxorrubicina. No se observaron efectos adversos en ningún gato.



Farmacocinética comparativa de doxorrubicina libre y una formulación liposomal en gatos tras administración intravenosa

Resultados

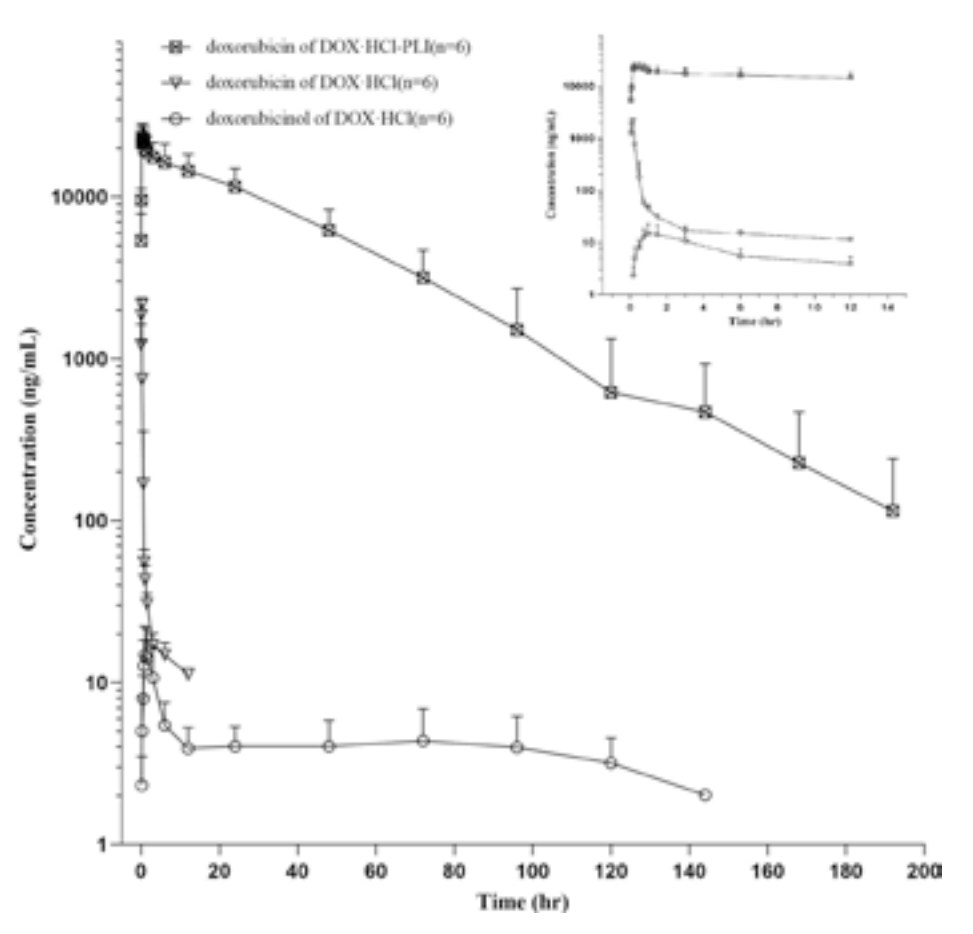


Figura 1. Curvas de concentración plasmática/tiempo de doxorrubicina y doxorrubicinol en gatos (n = 6) tras una inyección i.v. lenta de una dosis única (20 mg/m2) de DOX-HCl o DOX-HCl-PLI, respectivamente. Se muestra en primer plano las primeras 12 h tras la administración del fármaco.

Tabla 1. Parámetros farmacocinéticos plasmáticos (media aritmética \pm DE) tras la administración en infusión i.v. de una dosis única (20 mg/m2) de las dos formulaciones de doxorrubicina a gatos (n = 6), DOX-HCl y DOX-HCl-PLI.

Parameters	DOX·HCl (n = 6)	DOX·HCl-PLI (n = 6)
λ_z (1/h)	0.17±0.07	0.05±0.03
Τ _{1/2λz} (hr)	5.00±3.20**	17.62±8.13**
MRT _{last} (hr)	0.83±0.36	32.72±6.17
T _{max} (hr)	0.14±0.04	0.29±0.10
AUC _{INF_obs} (μg·hr./mL)	0.76±0.15	785.83±270.56
AUC _{last} (μg·hr./ mL)	0.67±0.12**	783.09±267.29**
CL _{_obs} (mL/h/m²)	27098.58±5205.19**	28.65±11.09**
Vz _{_obs} (L/m²)	178.56±71.89**	0.64±0.20**
C _{max} (µg/ mL)	2.25±0.30**	24.02±5.45**

Los parámetros farmacocinéticos se calcularon utilizando el modelo de análisis no compartimental 200-202 en el software Winnonlin $^{\text{TM}}$ (WinNonlin 8. 3, Certara USA); λz , la constante de velocidad de eliminación; $T1/2\lambda z$, semivida de eliminación; MRTlast, tiempo medio de residencia; $Tm\acute{a}x$, tiempo para alcanzar la concentración máxima (pico) observada en estado estacionario; $AUC_{\text{INF_obs'}}$, área bajo la curva concentración/tiempo de 0 a infinito; AUClast, área bajo la curva concentración versus tiempo de 0 al último punto; $CL_{\text{obs'}}$ aclaramiento corporal total; $Vz_{\text{obs'}}$ el volumen aparente de distribución; $C_{\text{max'}}$ concentración plasmática máxima. **Diferencias significativas (p < 0,01), grupo DOX-HCl comparado con el grupo DOX-HCl-PLI.

Discusión

La doxorrubicina ha demostrado una eficacia terapéutica significativa en muchos tipos de cáncer, y se considera uno de los fármacos quimioterapéuticos aprobados más potentes. Los estudios farmacocinéticos anteriores se centraron principalmente en humanos y otras especies (25); sin embargo, en los últimos años se ha observado una tendencia al alza en los casos clínicos de tumores en gatos (18, 21). Así pues, en nuestro estudio hemos investigado la farmacocinética de dos formulaciones de doxorrubicina midiendo las concentraciones plasmáticas de doxorrubicina y su metabolito, el doxorrubicinol, en gatos.

En consonancia con otros hallazgos, nuestros resultados detectaron doxorrubicina y doxorrubicinol en muestras de plasma, con el fármaco principal predominantemente presente en el plasma tras la administración (26).

Nuestros resultados mostraron diferencias significativas en los perfiles farmacocinéticos de la doxorrubicina y el doxorrubixinol entre las formulaciones DOX-HCl y DOX-HCl-PLI. Estos resultados coinciden con los de A. Gabixon et al., en cuyo estudio de la formulación liposomal de doxorrubicina se observó un mayor tiempo de circulación en plasma y un menor volumen aparente de distribución tras la administración i.v. en comparación con la doxorrubicina convencional (27). Además, en nuestro estudio se vió una semivida de eliminación más larga tras la administración de DOX-HCl-PLI en comparación con el grupo DOX-



Farmacocinética comparativa de doxorrubicina libre y una formulación liposomal en gatos tras administración intravenosa

Discusión



HCl. Cabe señalar que el mismo rasgo también se observó en otras especies, como lo demuestra la semivida de eliminación de 27±5 h tras la administración de doxorrubicina liposomal en perros (28). La presencia de moléculas de polietilenglicol (PEG) en la superficie de la doxorrubicina liposomal contribuye a prolongar sus tiempos de circulación in vivo, que superan las 18 h en ratones y las 50 h en humanos (29). La diferencia aparente en el tiempo de circulación entre las dos formulaciones se atribuye probablemente a la capa de PEG que reduce su interacción con el sistema fagocítico mononuclear (MPS), ayudando así a evitar la eliminación en el hígado (30). Además, el volumen de distribución del grupo DOX-HCl-PLI fue significativamente menor en comparación con el grupo DOX-HCl, lo que indica que la formulación liposomal está confinada principalmente dentro del compartimento intravascular (2). Además, el AUC_{last} $(0,67\pm0,12 \mu g-hr./mL)$ del DOX-HCl fue inferior al del DOX-HCl-PLI $(783,09\pm267,29 \mu g-hr./mL)$ en gatos.

Estos resultados sugieren que el DOX-HCl-PLI aumenta potencialmente la biodisponibilidad y mejora su potencial de efecto antitumoral. En un estudio de A. Rahmab y otros, se exploró la farmacocinética comparativa de la doxorrubicina libre y la doxorrubicina atrapada en liposomas de cardiolipina en ratas administradas a una dosis i.v. de 6 mg/kg. La concentración plasmática máxima de doxorrubicina libre a los 5 min fue de 1,7 μ g/mL, mientras que la formulación de liposomas de cardiolipina produjo una concentración plasmática máxima de doxorrubicina a los 5 min de 20,9 μ g/mL. El AUC para la doxorrubicina libre y la doxorrubicina liposomal fue de 1,95 μ g-hora/mL y 81,4 μ g-hora/mL, respectivamente (31). Del mismo modo, en ratones, el AUC_{last} (72,98±15,79 μ g-hora/mL) del DOX-HCl fue inferior al del DOX-HCl-PLI (499,61±72,35- μ g-hora/mL) (32).

Estos hallazgos sugieren que el DOX-HCl presenta un mayor volumen de distribución, un aclaramiento más rápido y una semivida más corta en comparación con el DOX-HCl-PLI.

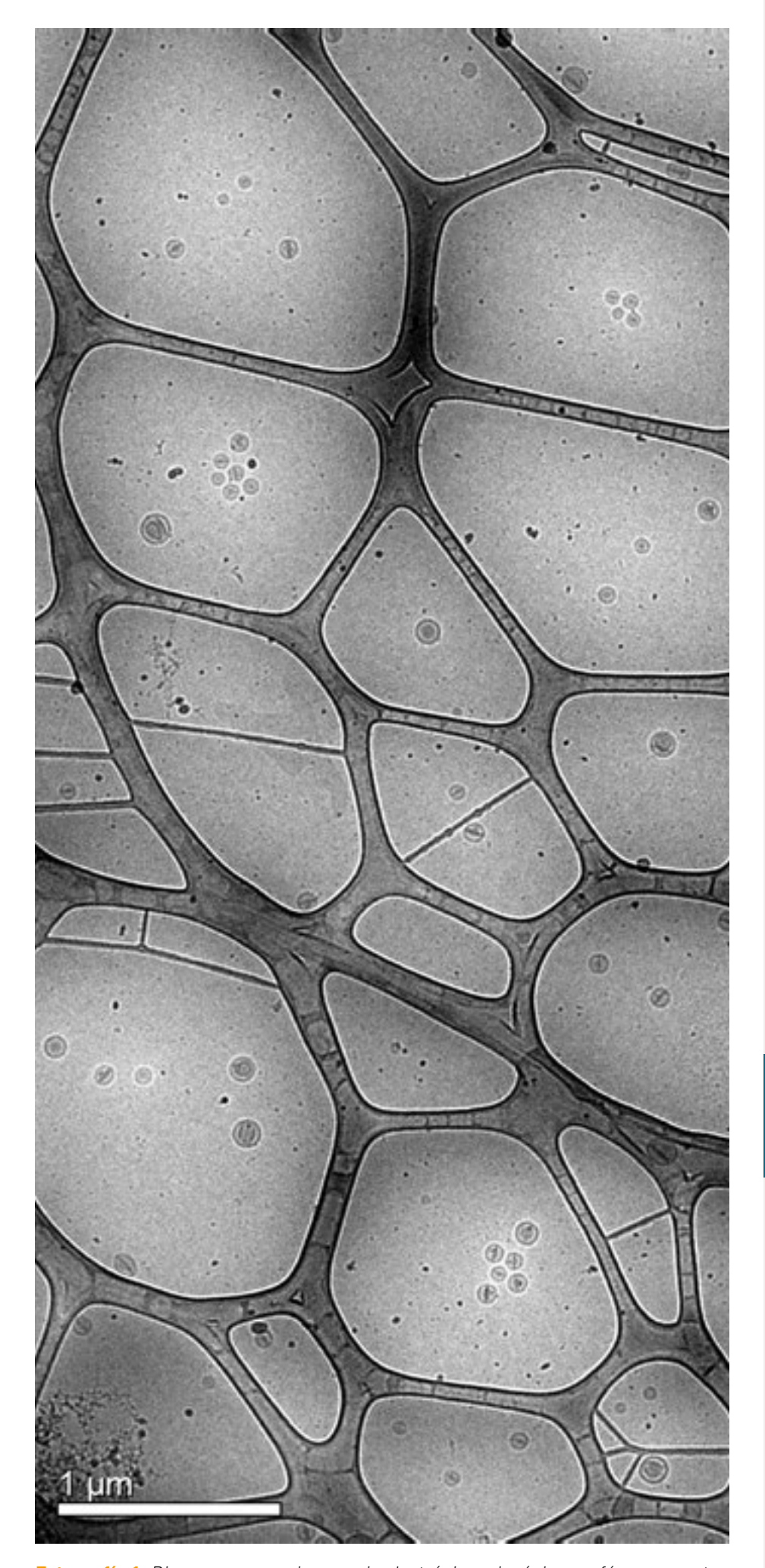
No obstante, nuestro estudio pudo detectar que la concentración de doxorrubicinol era baja inmediatamente después de la administración de DOX-HCl, y que era aún menor cuando se administraba DOX-HCl-PLI. Estas observaciones concuerdan con hallazgos anteriores (29, 33) e indican una conversión notablemente reducida de doxorrubicina a doxorrubicinol cuando la doxorrubicina se administra en su forma liposomal. Los datos del presente estudio podrían servir como prueba científica que contribuya a explicar la sustancial reducción de la cardiotoxicidad asociada a la doxorrubicina liposomal.

En conclusión, este estudio representa una investigación inicial para comprender la farmacocinética de dos formulaciones distintas de doxorrubicina en gatos. Aunque preliminares, los hallazgos ofrecen conocimientos fundamentales que podrían resultar cruciales para la administración práctica y clínica de la doxorrubicina, en particular en el tratamiento del cáncer en sujetos felinos.



Farmacocinética comparativa de doxorrubicina libre y una formulación liposomal en gatos tras administración intravenosa

Discusión



Fotografía 1. Disparo con un microscopio electrónico criogénico, un fármaco contra el cáncer (doxorrubicina).



Farmacocinética comparativa de doxorrubicina libre y una formulación liposomal en gatos tras administración intravenosa

Discusión



Otra información

Declaración de disponibilidad de datos

Las contribuciones originales presentadas en el estudio se incluyen en el artículo/material suplementario, las consultas adicionales pueden dirigirse a los autores correspondientes.

Declaración ética

El estudio con animales fue aprobado por el Comité Institucional para el Cuidado y Uso de Animales de la Universidad Agrícola de China (Nº 13303-21-E-001). El estudio se realizó de acuerdo con la legislación local y los requisitos institucionales.

Contribución de los autores

YL: Redacción - borrador original, Análisis formal, Validación, Redacción - revisión y edición. SC: Redacción - revisión y edición, Análisis formal, Validación. ZW: Redacción - revisión y edición, Validación. JM: Redacción - revisión y edición, Recopilación de datos, Validación. YY: Redacción - revisión y edición, Validación. YZ: Redacción: revisión y edición, validación. JW: Redacción - revisión y edición. XC: Redacción - revisión y edición.

Financiación

Los autores declaran que no han recibido apoyo financiero para la investigación, autoría y/o publicación de este artículo.

Agradecimientos

Queremos agradecer a Xiaohui Gong, Pan Sun y Jing Li su ayuda en la determinación analítica del fármaco y en el pedido de consumibles experimentales.

Conflicto de intereses

Los autores declaran que la investigación se llevó a cabo en ausencia de cualquier relación comercial o financiera que podría interpretarse como un posible conflicto de intereses.

Nota del editor

Todas las afirmaciones expresadas en este artículo son exclusivamente las de los autores y no representan necesariamente las de sus organizaciones afiliadas, o las del editor, los editores y los revisores. El editor no garantiza ni respalda ningún producto que pueda evaluarse en este artículo, ni ninguna afirmación que pueda hacer su fabricante.



Farmacocinética comparativa de doxorrubicina libre y una formulación liposomal en gatos tras administración intravenosa

Otra información

Referencias

- 1. Rivankar, S. An overview of doxorubicin formulations in cancer therapy. J Cancer Res Ther. (2014) 10:853–8. doi: 10.4103/0973-1482.139267
- 2. Tahover, E, Patil, YP, and Gabizon, AA. Emerging delivery systems to reduce doxorubicin cardiotoxicity and improve therapeutic index: focus on liposomes. Anti-Cancer Drugs. (2015) 26:241–58. doi: 10.1097/CAD.000000000000182
- 3. Li, XR, Cheng, XH, Zhang, GN, Wang, XX, and Huang, JM. Cardiac safety analysis of first-line chemotherapy drug pegylated liposomal doxorubicin in ovarian cancer. J Ovarian Res. (2022) 15:96. doi: 10.1186/s13048-022-01029-6
- 4. Wu, BB, Leung, KT, and Poon, EN. Mitochondrial-targeted therapy for doxorubicin-induced cardiotoxicity. Int J Mol Sci. (2022) 23:1912. doi: 10.3390/ijms23031912
- 5. Kong, CY, Guo, Z, Song, P, Zhang, X, Yuan, YP, Teng, T, et al. Underlying the mechanisms of doxorubicin-induced acute cardiotoxicity: oxidative stress and cell death. Int J Biol Sci. (2022) 18:760–70. doi: 10.7150/ijbs.65258
- Sheibani, M, Azizi, Y, Shayan, M, Nezamoleslami, S, Eslami, F, Farjoo, MH, et al. Doxorubicin-induced cardiotoxicity: an overview on pre-clinical therapeutic approaches. Cardiovasc Toxicol. (2022) 22:292–310. doi: 10.1007/s12012-022-09721-1
- 7. Harahap, Y, Ardiningsih, P, Corintias Winarti, A, and Purwanto, DJ. Analysis of the doxorubicin and Doxorubicinol in the plasma of breast Cancer patients for monitoring the toxicity of doxorubicin. Drug Des Devel Ther. (2020) 14:3469–75. doi: 10.2147/DDDT.S251144
- 8. Zeng, X, Cai, H, Yang, J, Qiu, H, Cheng, Y, and Liu, M. Pharmacokinetics and cardiotoxicity of doxorubicin and its secondary alcohol metabolite in rats. Biomed Pharmacother. (2019) 116:108964. doi: 10.1016/j. biopha.2019.108964
- 9. Gabizon, AA. Pegylated liposomal doxorubicin: metamorphosis of an old drug into a new form of chemotherapy. Cancer Investig. (2001) 19:424–36. doi: 10.1081/CNV-100103136
- 10. Laginha, KM, Verwoert, S, Charrois, GJ, and Allen, TM. Determination of doxorubicin levels in whole tumor and tumor nuclei in murine breast cancer tumors. Clin Cancer Res. (2005) 11:6944–9. doi: 10.1158/1078-0432.CCR-05-0343
- 11. Goebel, FD, Goldstein, D, Goos, M, Jablonowski, H, and Stewart, JS. Efficacy and safety of stealth liposomal doxorubicin in aids-related Kaposi's sarcoma. The international Sl-dox study group. Br J Cancer. (1996) 73:989–94. doi: 10.1038/bjc.1996.193
- 12. Gabizon, AA. Liposomal anthracyclines. Hematol Oncol Clin North Am. (1994) 8:431–50.
- 13. Taléns-Visconti, R, Díez-Sales, O, de Julián-Ortiz, JV, and Nácher, A. Nanoliposomes in Cancer therapy: marketed products and current clinical trials. Int J Mol Sci. (2022) 23:4249. doi: 10.3390/ijms23084249
- 14. Nascimento, C, Gameiro, A, Correia, J, Ferreira, J, and Ferreira, F. The landscape of tumor-infiltrating immune cells in feline mammary carcinoma: pathological and clinical implications. Cell. (2022) 11:2578. doi: 10.3390/cells11162578
- 15. Nascimento, C, and Ferreira, F. Tumor microenvironment of human breast cancer, and feline mammary carcinoma as a potential study model.

 Biochim Biophys Acta Rev Cancer. (2021) 1876:188587. doi: 10.1016/j. bbcan.2021.188587
- 16. Granados-Soler, JL, Taher, L, Beck, J, Bornemann-Kolatzki, K, Brenig, B, Nerschbach, V, et al. Transcription profiling of feline mammary carcinomas and derived cell lines reveals biomarkers and drug targets associated with metabolic and cell cycle pathways. Sci Rep. (2022) 12:17025. doi: 10.1038/s41598-022-20874-5
- 17. Williams, AG, Hohenhaus, AE, and Lamb, KE. Incidence and treatment of feline renal lymphoma: 27 cases. J Feline Med Surg. (2021) 23:936–44. doi: 10.1177/1098612X20984363



Farmacocinética comparativa de doxorrubicina libre y una formulación liposomal en gatos tras administración intravenosa

Referencias





Farmacocinética comparativa de doxorrubicina libre y una formulación liposomal en gatos tras administración intravenosa

Referencias

- 18. Simon, KL, Cook, MR, Husbands, BD, Long, ME, Hokamp, JA, Helms, TH, et al. Use of doxorubicin chemotherapy following debulking surgery in the treatment of a cat with mesenteric hemangiosarcoma. JFMS Open Rep. (2022) 8:20551169221121900. doi: 10.1177/20551169221121900
- 19. Zabielska-Koczywąs, K, and Lechowski, R. The use of liposomes and nanoparticles as drug delivery systems to improve Cancer treatment in dogs and cats. Molecules. (2017) 22:2167. doi: 10.3390/molecules22122167
- 20. Barber, LG, Sorenmo, KU, Cronin, KL, and Shofer, FS. Combined doxorubicin and cyclophosphamide chemotherapy for nonresectable feline fibrosarcoma. J Am Anim Hosp Assoc. (2000) 36:416–21. doi: 10.5326/15473317-36-5-416
- 21. Reiman, RA, Mauldin, GE, and Neal, MG. A comparison of toxicity of two dosing schemes for doxorubicin in the cat. J Feline Med Surg. (2008) 10:324–31. doi: 10.1016/j.jfms.2007.12.009
- 22. Gameiro, A, Urbano, AC, and Ferreira, F. Emerging biomarkers and targeted therapies in feline mammary carcinoma. Vet Sci. (2021) 8:164. doi: 10.3390/vetsci8080164
- 23. Tardi, PG, Boman, NL, and Cullis, PR. Liposomal doxorubicin. J Drug Target. (1996) 4:129–40. doi: 10.3109/10611869609015970
- 24. Anders, CK, Adamo, B, Karginova, O, Deal, AM, Rawal, S, Darr, D, et al. Pharmacokinetics and efficacy of Pegylated liposomal doxorubicin in an intracranial model of breast cancer. PLoS One. (2013) 8:e61359. doi: 10.1371/journal.pone.0061359
- 25. Gabizon, A, Shmeeda, H, and Barenholz, Y. Pharmacokinetics of pegylated liposomal doxorubicin: review of animal and human studies. Clin Pharmacokinet. (2003) 42:419–36. doi: 10.2165/00003088-200342050-00002
- 26. Maniez-Devos, DM, Baurain, R, Trouet, A, and Lesne, M. Doxorubicin pharmacokinetics in the rabbit. J Pharmacol. (1985) 16:159–69.
- 27. Gabizon, A, Catane, R, Uziely, B, Kaufman, B, Safra, T, Cohen, R, et al. Prolonged circulation time and enhanced accumulation in malignant exudates of doxorubicin encapsulated in polyethylene-glycol coated liposomes. Cancer Res. (1994) 54:987–92.
- 28. Gabizon, AA, Barenholz, Y, and Bialer, M. Prolongation of the circulation time of doxorubicin encapsulated in liposomes containing a polyethylene glycolderivatized phospholipid: pharmacokinetic studies in rodents and dogs. Pharm Res. (1993) 10:703–8. doi: 10.1023/A:1018907715905
- 29. Allen, TM, K Cheng, WW, Hare, JI, and Laginha, KM. Pharmacokinetics and pharmacodynamics of lipidic nano-particles in cancer. Anti Cancer Agents Med Chem. (2006) 6:513–23. doi: 10.2174/187152006778699121
- 30. Makwana, V, Karanjia, J, Haselhorst, T, Anoopkumar-Dukie, S, and Rudrawar, S. Liposomal doxorubicin as targeted delivery platform: current trends in surface functionalization. Int J Pharm. (2021) 593:120117. doi: 10.1016/j. ijpharm.2020.120117
- 31. Rahman, A, Carmichael, D, Harris, M, and Roh, JK. Comparative pharmacokinetics of free doxorubicin and doxorubicin entrapped in cardiolipin liposomes. Cancer Res. (1986) 46:2295–9.
- 32. Lu, WL, Qi, XR, Zhang, Q, Li, RY, Wang, GL, Zhang, RJ, et al. A pegylated liposomal platform: pharmacokinetics, pharmacodynamics, and toxicity in mice using doxorubicin as a model drug. J Pharmacol Sci. (2004) 95:381–9. doi: 10.1254/jphs.FPJ04001X
- 33. Liu, Y, Yang, Y, Liu, X, and Jiang, T. Quantification of pegylated liposomal doxorubicin and doxorubicinol in rat plasma by liquid chromatography/ electrospray tandem mass spectroscopy: application to preclinical pharmacokinetic studies. Talanta. (2008) 74:887–95. doi: 10.1016/j. talanta.2007.07.022